

## МОДЕЛИРОВАНИЕ ДЕФОРМАЦИЙ РЕЗИНОМЕТАЛЛИЧЕСКИХ ОПОР

*Дуишеналиев Т.Б., Кыргызский Государственный Технический Университет им. И.Раззакова, e-mail: [duishenaliev@mail.ru](mailto:duishenaliev@mail.ru)*

*Аскарбеков Р.Н. Кыргызский Государственный Технический Университет им. И.Раззакова, [askarbekovu@gmail.com](mailto:askarbekovu@gmail.com)*

**Аннотация.** Предлагается математическая модель упругого деформирования резинового слоя. Модель основана на новом (неклассическом) решении второй краевой задачи механики деформируемого тела и позволяет описать поведение резинометаллических опор (РМО) при воздействии распределенной или сосредоточенной нагрузки. Приводятся численные значения расчетов напряжено-деформированного состояния резины в составе однослойных и многослойных РМО.

**Ключевые слова:** краевая задача, тензор деформаций, тензор напряжений, перемещение, нагрузка, резина, резинометаллическая опора.

## MODELING OF DEFORMATIONS OF RUBBER-METALLIC SUPPORTS

*Duishenaliev T.B., Kyrgyz State Technical University named after I.Razzakov, e-mail: [duishenaliev@mail.ru](mailto:duishenaliev@mail.ru)*

*Askarbekov R.N. Kyrgyz State Technical University named after I.Razzakov, e-mail: [askarbekovu@gmail.com](mailto:askarbekovu@gmail.com)*

**Abstract.** In this paper proposed mathematical model of the elastic deformation of the rubber layers. The model is based on the new (non-classical) solution of the second boundary value problem of deformable body mechanics and allows us to describe the behavior of the rubber-metal supports (RMS) under the influence of a distributed or concentrated load. The numerical value calculation stress-strain condition of the rubber in the composition of single-layer and multilayer RMS.

**Keywords:** boundary value problem, strain tensor, stress tensor, displacement, load, rubber, rubber-metal support.

**Введение.** В работе [4] реализован неклассический подход к решению статической краевой задачи механики деформируемого твердого тела. Он позволяет решать статическую краевую задачу в строгом соответствии с ее общепризнанной постановкой. Обстоятельство, что тело с заданными силами в объеме и на поверхности находится в равновесии, является исходным. Областью определения дифференциальных уравнений равновесия и совместности деформаций, а также граничных условий служит конечное состояние равновесия. В предложенном подходе это состояние должно считаться заданным, а не искомым. Иначе невозможно указать положения сил, распределенных в объеме и на поверхности тела. Этот крайне простой и естественный подход вносит в механику деформируемого тела основополагающие дополнения. В частности, выясняется, что линейный тензор Коши может описывать конечные (большие) деформации упругого тела.

Приведем постановку второй краевой задачи:

$$\sigma_{ji,j} + f_i = 0, \sigma_{ij} = \sigma_{ji}, x_i \in V, \tag{1}$$

$$\sigma_{ij,kk} + \frac{1}{1+\nu} \sigma_{kk,ij} + \frac{\nu}{1-\nu} \delta_{ij} f_{k,k} + f_{i,j} + f_{j,i} = 0, x_i \in V, \tag{2}$$

$$\sigma_{ji} n_j = p_i, x_i \in S, \tag{3}$$

где  $\nu$  - коэффициент Пуассона,  $\sigma_{ij}$  - компоненты напряжения,  $f_i$  и  $p_i$  - соответственно внешние силы, заданные в объеме  $V$  и на границе  $S$  материального тела.

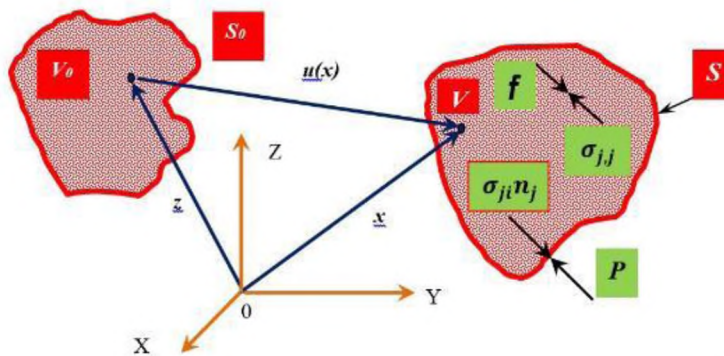


Рис. 1. Слева: состояние равновесия тела без внешних сил, справа: состояния равновесия тела с приложенными силами.

Данная постановка проиллюстрирована на рис.1. В каждой точке материального тела объемом  $V$  и границей  $S$  имеют приложенные внешние силы, которые уравновешиваются внутренними напряжениями.

Решением это краевой задачи в пространственных координатах (координатах

конечного состояния) подразумеваются функции  $\sigma_{ij}(x)$ , удовлетворяющие уравнениям (1-3) [4]. Из него легко определяются деформации

$$\varepsilon_{ij} = \frac{1}{E} \left( -\nu \cdot \delta_{ij} \cdot \sigma_{kk} + (1+\nu) \sigma_{ij} \right), \quad (4)$$

где  $E$  - модуль упругости.

Перемещения  $u_i(x)$  определяем по формулам Чезаро [4]:

$$u_i(x) = u_i(x^0) + \omega_{ij}(x^0) \left( x_j - x_j^0 \right) + \frac{1}{E} \int_l \left( \varepsilon_{ik}(y) + \left( x_j - y_j \right) \left( \varepsilon_{k,ij}(y) - \varepsilon_{k,ji}(y) \right) \right) dy_k,$$

где  $l$  - линия в области  $V$ ,  $x^0$  - начальная точка этой линии,  $u_i(x^0), \omega_{ij}(x^0)$  -

постоянные интегрирования.

### 1. Моделирование напряженно-деформированного состояния однослойной резинометаллической опоры (РМО)

Зададимся областью определения уравнений статической краевой задачи в виде указанной на рис. 2 резинометаллического элемента с одним резиновым слоем. Начало прямоугольной декартовой системы координат поместим в самом центре, что соответствует положению  $(X, Y, Z) = (0, 0, 0)$ .

Итак, под обозначением  $V$  будем подразумевать следующую область

$$-0.05 \leq x_1 \leq 0.05, \quad -0.05 \leq x_2 \leq 0.05, \quad 0 \leq x_3 \leq 0.1 \quad (5)$$

Рассмотрим вторую краевую задачу без массовых сил

$$\sigma_{ji,j} = 0, \quad \sigma_{ij} = \sigma_{ji}, \quad x_i \in V, \quad (6)$$

$$\sigma_{ij,kk} + \frac{1}{1+\nu} \sigma_{kk,ij} = 0, \quad x_i \in V, \quad (7)$$

$$\sigma_{ji} n_j = \delta_{i2} c x_3, \quad x_i \in S, \quad (8)$$

где  $V$  определяется выражениями (5).

Резинометаллическая опора с усилиями (8) на своей поверхности находится в равновесии. Из (8) следует, что равномерно распределенная нагрузка приложена на верхнюю металлическую пластину и значение ее возрастает постепенно.

Решение задачи по способу [4]:

$$\sigma_{ij} = \delta_{i2} \delta_{j2} c x_3, \quad x_i \in V \quad (9)$$

Функции перемещений можно определить также из выражения

$$u_i = \frac{1}{E} \int_l c \left( -\nu \delta_{ik} x_3 + (1+\nu) \delta_{i2} \delta_{k2} x_3 + \left( x_j - y_j \right) \left( -\nu \left( \delta_{ki} \delta_{3j} - \delta_{kj} \delta_{3i} \right) + (1+\nu) \delta_{k2} \left( \delta_{i2} \delta_{3j} - \delta_{j2} \delta_{3i} \right) \right) \right) dy_k, \quad x_i \in V.$$

Интегрируя это выражение, находим

$$u_i(x) = -c \left( \delta_{i1} \nu x_3 \left( x_1 - x_1^0 \right) - \delta_{i2} x_3 \left( x_2 - x_2^0 \right) + \delta_{i3} \left( x_2^2 + \nu \left( x_3^2 - x_1^2 \right) - x_2^0 \left( 2x_2 - x_2^0 \right) - \nu \left( \left( x_3^0 \right)^2 - x_1^0 \left( 2x_1 - x_1^0 \right) \right) \right) / 2 \right) / E, \quad x_i \in V, \quad (10)$$

где  $x_i^0$  - любая фиксированная точка области  $V$ . Приведем развернутый вид функций (10):

$$u_1(x) = -\frac{c \nu x_3 (x_1 - x_1^0)}{E}, u_2(x) = \frac{c x_3 (x_2 - x_2^0)}{E}, x_i \in V,$$

$$u_3(x) = -c \left( \left( x_2^2 + \nu (x_3^2 - x_1^2) - x_2^0 (2x_2 - x_2^0) - \nu \left( (x_3^0)^2 - x_1^0 (2x_1 - x_1^0) \right) \right) / 2E \right), x_i \in V.$$

Рассмотрим три случая нагружения:  $c = 0, c = 0.3, c = 0.6$ . На поверхности  $S$  внешних сил нет, тело занимает область  $V$  (5) и находится в равновесии. На рисунке 2 приводятся: слева без приложенной нагрузки и справа с приложенной нагрузкой. В качестве  $x^0$  можно брать координаты любой точки области (5). В дальнейшем примем для начальной координаты  $x_1^0 = 0.05, x_2^0 = 0.05, x_3^0 = 0$ .

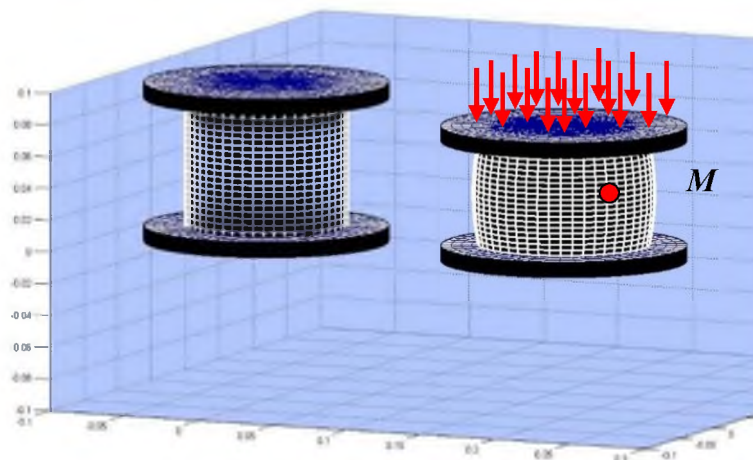


Рис. 2. Слева: состояние равновесия тела, справа: состояния равновесия резинометаллической опоры при нагрузке  $c=0.3$ .

Рассмотрим точку  $M$ , находящуюся внутри резинового слоя, которая под действием сжимающих усилий перемещается. Определим перемещение точки  $M$  при действии на верхнюю металлическую пластину распределенной нагрузки. Эта точка находится в середине резинового слоя по высоте и имеет наибольшие значения перемещения при выпучивании резинового слоя. Модуль упругости для резины марки СНК 3826 принят  $E=12$ МПа, коэффициент Пуассона  $\nu=0.4995$ .

Для предлагаемой математической модели, когда  $c=0.3$  (внешняя нагрузка равна 3.82 МПа) в программном комплексе Matlab был написан специальный программный код. В данной системе был произведен расчет компонент перемещения точки  $M$  в метрах

$$u_{ij} = \begin{pmatrix} 0.01 & 0 & 0 \\ 0 & 0.01 & 0 \\ 0 & 0 & 0.0084 \end{pmatrix}.$$

Тензор деформации рассчитывается в Matlab определяется по формулам  $\varepsilon_{ij} = 0.5(u_{i,j} + u_{j,i})$ . Или в развернутом виде:

$$\varepsilon_{ij} := c \begin{pmatrix} \frac{1}{2} \left( \frac{\partial}{\partial x_1} u_1(x_1, x_2, x_3) + \frac{\partial}{\partial x_1} u_1(x_1, x_2, x_3) \right) & \frac{1}{2} \left( \frac{\partial}{\partial x_2} u_1(x_1, x_2, x_3) + \frac{\partial}{\partial x_1} u_2(x_1, x_2, x_3) \right) & \frac{1}{2} \left( \frac{\partial}{\partial x_3} u_1(x_1, x_2, x_3) + \frac{\partial}{\partial x_1} u_3(x_1, x_2, x_3) \right) \\ \frac{1}{2} \left( \frac{\partial}{\partial x_1} u_2(x_1, x_2, x_3) + \frac{\partial}{\partial x_2} u_1(x_1, x_2, x_3) \right) & \frac{1}{2} \left( \frac{\partial}{\partial x_2} u_2(x_1, x_2, x_3) + \frac{\partial}{\partial x_2} u_2(x_1, x_2, x_3) \right) & \frac{1}{2} \left( \frac{\partial}{\partial x_3} u_2(x_1, x_2, x_3) + \frac{\partial}{\partial x_2} u_3(x_1, x_2, x_3) \right) \\ \frac{1}{2} \left( \frac{\partial}{\partial x_1} u_3(x_1, x_2, x_3) + \frac{\partial}{\partial x_3} u_1(x_1, x_2, x_3) \right) & \frac{1}{2} \left( \frac{\partial}{\partial x_2} u_3(x_1, x_2, x_3) + \frac{\partial}{\partial x_3} u_2(x_1, x_2, x_3) \right) & \frac{1}{2} \left( \frac{\partial}{\partial x_3} u_3(x_1, x_2, x_3) + \frac{\partial}{\partial x_3} u_3(x_1, x_2, x_3) \right) \end{pmatrix}$$

Компоненты тензора деформаций для точки  $M$ :

$$\varepsilon_{ij} = \begin{pmatrix} 0.064 & 0 & 0 \\ 0 & 0.064 & 0 \\ 0 & 0 & 0.09 \end{pmatrix}.$$

Для расчета тензора напряжений в точке  $M$  воспользуемся обобщенным законом Гука:

$$\sigma_{ij} = \lambda \delta_{ij} \varepsilon_{kk} + 2\mu \varepsilon_{ij}, \quad \lambda = \frac{E\nu}{(1+\nu)(1-2\nu)}.$$

Для цилиндра принимаем,  $\varepsilon_x = \varepsilon_y$ ,  $\sigma_x = \sigma_y$ ,  $\nu = 0.4995$ . В итоге получим компоненты напряжения, в МПа:

$$\sigma_{ij} = \begin{pmatrix} 1.495 & 0 & 0 \\ 0 & 1.495 & 0 \\ 0 & 0 & 1.504 \end{pmatrix}.$$

Увеличим значение нагрузки и рассмотрим случай, когда  $c=0.6$  (нагрузка равна 7.64 МПа). Под действием приложенных сил тело занимает ту же область в пространстве.

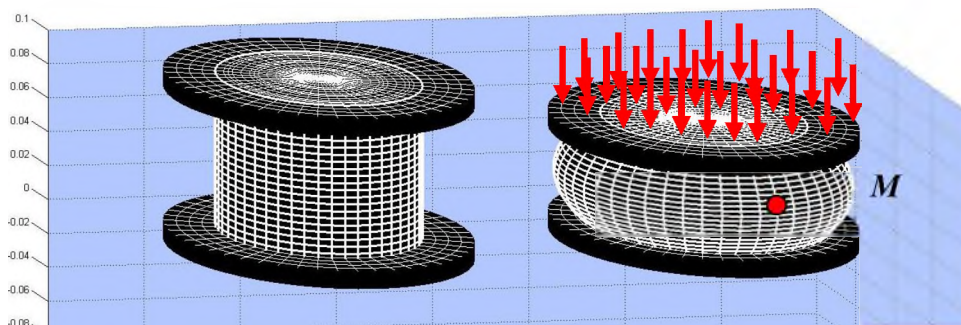


Рис. 3. РМО №2 под воздействием сжимающих усилий  $c=0.6$ .

Поле перемещений для точки  $M$ , в метрах:

$$u_{ij} = \begin{pmatrix} 0.02 & 0 & 0 \\ 0 & 0.02 & 0 \\ 0 & 0 & 0.0168 \end{pmatrix}.$$

Компоненты тензора деформаций для точки  $M$ :

$$\varepsilon_{ij} = \begin{pmatrix} 0.255 & 0 & 0 \\ 0 & 0.255 & 0 \\ 0 & 0 & 0.36 \end{pmatrix}.$$

Тензор напряжений для точки  $M$ , в МПа:

$$\sigma_{ij} = \begin{pmatrix} 5.981 & 0 & 0 \\ 0 & 5.981 & 0 \\ 0 & 0 & 6.018 \end{pmatrix}.$$

Данную задачу (1), (2), (3) можно также представить уравнениями Навье:

$$\mu \Delta u_{i,jj} + (\lambda + \mu) u_{j,ji} = 0, \quad x_i \in V. \quad (11)$$

Граничные условия для этих уравнений можно записать в трех видах:

- Заданы перемещения на поверхности  $S$ , которые определяются функцией (10).
- Заданы внешние силы на поверхности  $S$ , определяемые выражением (8).
- Заданы на гранях перемещения, определяемые выражением (10),

в которую поочередно надо подставить следующие значения координат  $x_1 = -0.05, x_1 = 0.05, x_2 = -0.05, x_2 = 0.05$ , а на остальной поверхности

$$\sigma_{ij}(x_1, x_2, 0) = -\delta_{i2} c x_3, \quad \sigma_{ij}(x_1, x_2, 0.1) = \delta_{i2} c x_3. \quad (13)$$

## 2. Моделирование напряженно-деформированного состояния многослойных резинометаллических опор (РМО)

По описанному алгоритму вычислялись параметры напряженно-деформированного состояния резинового слоя в составе многослойных резинометаллических опор. РМО №3 – два слоя резинового тела и три металлические пластины, РМО №4 – три слоя резинового тела и четыре металлических пластин, РМО №5 – четыре слоя резинового тела и пять металлических пластин. Высота всех РМО равнялась 0.1 м, а их диаметр – 0.105 м.

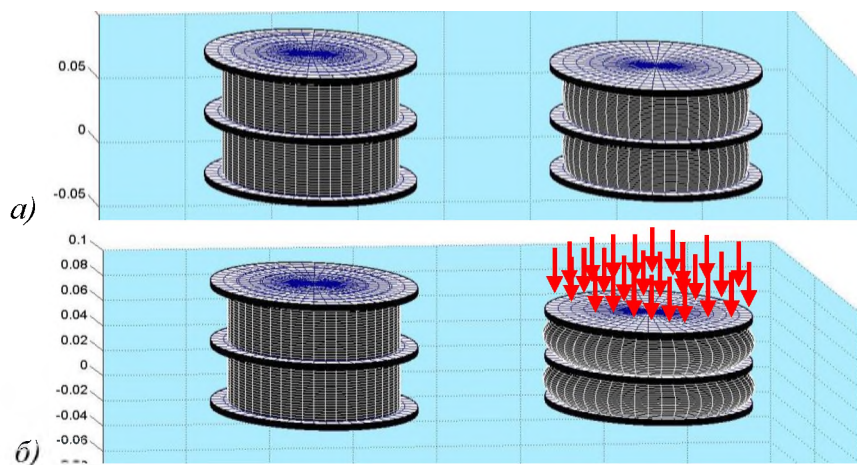
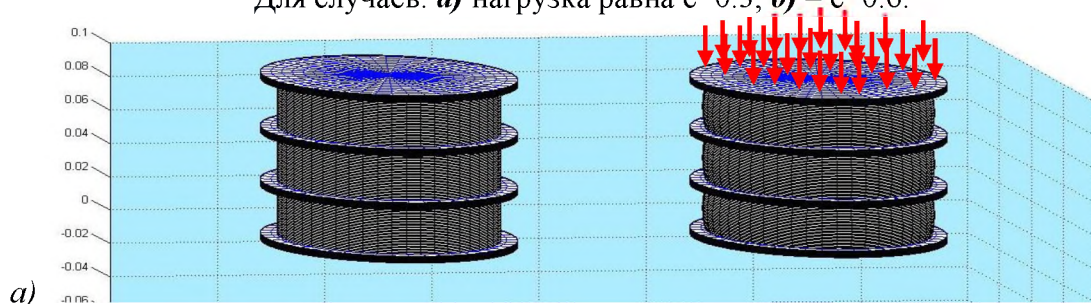


Рис. 4. Сжатие РМО №3 под действием равномерно распределенной нагрузки. Для случаев: **а)** нагрузка равна  $c=0.3$ , **б)** –  $c=0.6$ .



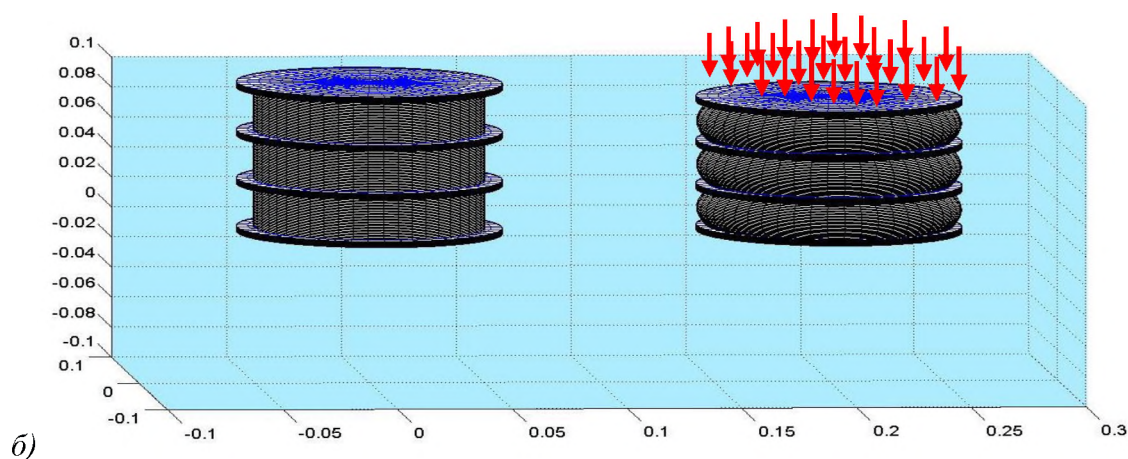


Рис. 5. Сжатие РМО №4 под действием равномерно распределенной нагрузки. Для случаев: *а)* нагрузка равна  $c=0.3$ , *б)* –  $c=0.6$ .

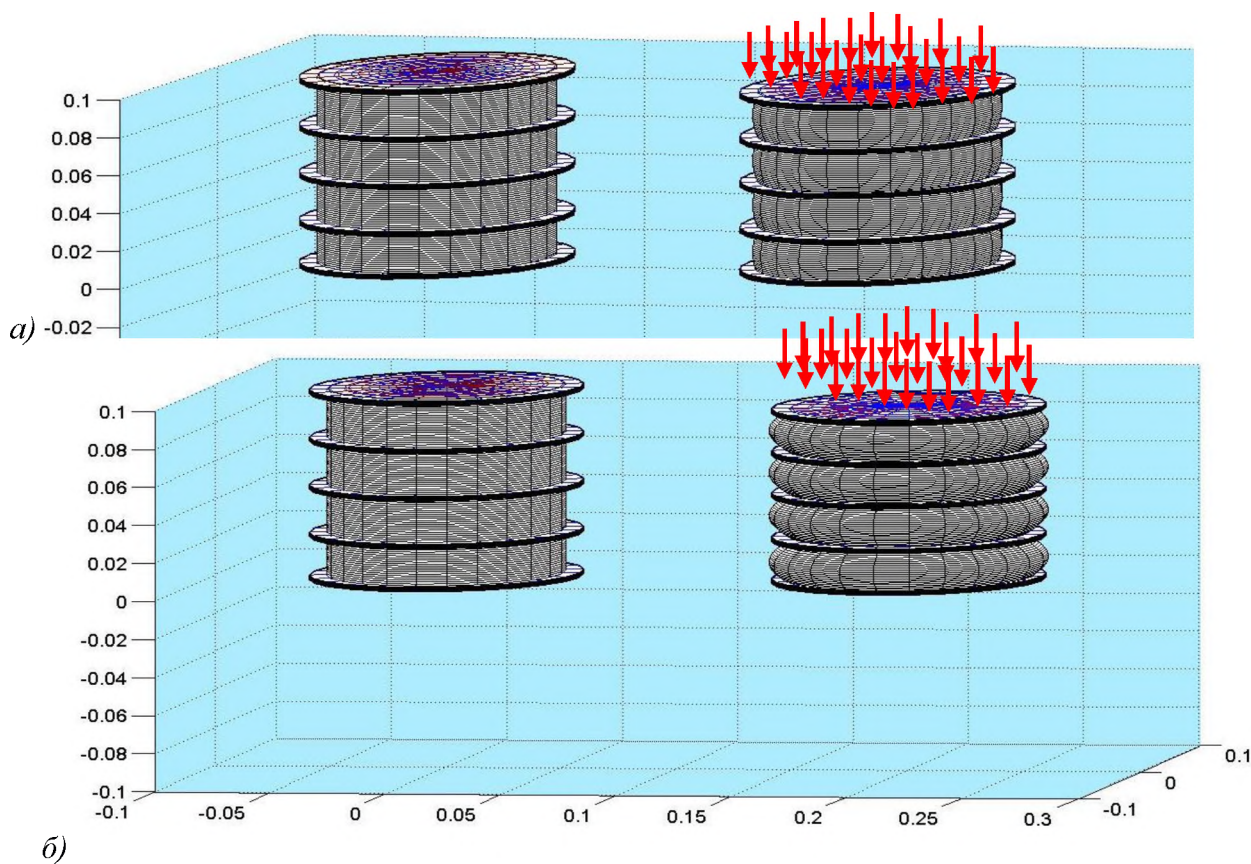


Рис. 6. Сжатие РМО №5 под действием равномерно распределенной нагрузки. Для случаев: *а)* нагрузка равна  $c=0.3$ , *б)* –  $c=0.6$ .

**Заключение.** В работе приводятся результаты применения математической модели на основе аналитического метода, которая позволяет описывать деформированное и напряженное состояния резинометаллических элементов при воздействии сжимающих усилий. Это направление относится к актуальным проблемам механики и тесно связано с решением разнообразных инженерно-технических задач. Модель определяет напряженное состояние РМО и может успешно применяться при расчете малых, конечных и больших деформаций резинометаллических опор. Предлагаемая математическая модель развивается

применительно к резиноподобным материалам, аналитический метод решения статических краевых задач теории упругости, предложенный Т.Б.Дуйшеналиевым, является весьма удобной при использовании современных компьютерных программ [1,4,13]. Новые результаты получены на основе применения фундаментальных положений и законов механики сплошных сред.

#### Список литературных источников

1. **Аскарбеков, Р.Н.** Моделирование напряженно-деформированного состояния вибро- и сейсмоизолирующих резинометаллических элементов [Текст] дис. ... канд. физ.-мат. наук / Р.Н. Аскарбеков. Бишкек, 2016. – 126 с.
2. **Васидзу, К.** Вариационные методы в теории упругости и пластичности [Текст]: пер. с англ. / К. Васидзу. – М.: Мир, 1987. – 542 с.
3. **Васильев, В.В.** К задаче теории упругости, сформулированной в напряжениях [Текст] / В.В. Васильев, Л.В. Федоров // Изв. РАН. Механика твердого тела. – 1996. – № 2. – С. 82-92.
4. **Дуйшеналиев, Т.Б.** Неклассические решения механики деформируемого тела. – Москва: Издательство МЭИ, 2017. – 400 с.
5. **Ле Тхи Тху Хуэн.** Исследование сейсмоизолируемого здания с применением заменяемых резинометаллических сейсмоизоляторов [Текст]: дис. ... канд. техн. наук / Ле Тхи Тху Хуэн. – Москва, 2010. – 135с.
6. **Мондрус, В.Л.** Проблема определения собственных частот резинометаллического виброизоляторов современных программных комплексах, реализующих метод конечного элемента [Текст] / В.Л. Мондрус, Д.К. Сизов // Сборник докладов Междунар. науч.-техн. конф. проф.-препод. состава. – М., 2008. – С. 58-62.
7. **Новацкий, В.** Теория упругости [Текст] / В. Новацкий. – М.: Мир, 1975. – 872с.
8. **Ормонбеков, Т.О.** Применение тонкослойных резинометаллических опор для сейсмозащиты зданий в условиях территории Кыргызской Республики [Текст] / Т.О. Ормонбеков, У.Т. Бегалиев, А.В. Дерев и др. – Бишкек: Учкун, 2005. – 212 с.
9. **Ормонбеков, Т.О.** Применение тонкослойных резинометаллических элементов (ТРМЭ) в сейсмозащите зданий, сооружений и инженерного оборудования [Текст] / Т.О. Ормонбеков. – Бишкек: Илим, 1996. – 25 с.
10. **Потураев, В.Н.** Резиновые и резинометаллические детали машин [Текст] / В.Н. Потураев. – М.: Машиностроение, 1966. – 298 с.
11. **Сергаева, М.Ю.** Обоснование работоспособности резинометаллических виброизоляторов систем виброзащиты авиационного оборудования [Текст]: дис. ... канд. техн. наук / М.Ю.Сергаева. – Омск, 2005. – 163 с.
12. **Сизов, Д.К.** Статика и динамика резинометаллического виброизолятора [Текст]: дис. ... канд. техн. наук / Д.К. Сизов. – Москва, 2008. – 149 с.
13. **Duishenaliev T.B.** Calculation of deformation of rubber layer in rubber metal elements [Text] / T.B. Duishenaliev, R.N. Askarbekov // Proceedings of 15th International Scientific Conference Engineering for Rural Development. – Jelgava, Latvia, 2016. – 25-27.05. – P. 1402-1410.
14. **Gent, A.N.** Load-deflection relations and surface strain distributions for flat rubber pads [Text] / A.N. Gent // Rubber Chem. Techn. – 1958. – Vol. 31, № 2. – P. 395-414.
15. **Kikuchi, F.** A new variational functional for the finite element method and its application to plate and shell problems [Text] / F. Kikuchi, Y. Ando // Nuclear Engin. and Design. – 1972. – No. 21. – P. 95-113.